

---

# Workshop

## New developments in joining technologies for hybrid metal constructions and hybrid metal fiber-composite constructions

---

PD Dr.-Ing. habil. Frank Riedel

Dr.-Ing. Reinhard Mauermann

Automotive Circle International

Fügen im Karosseriebau 2012

Bad Nauheim, 17. - 19. April 2012

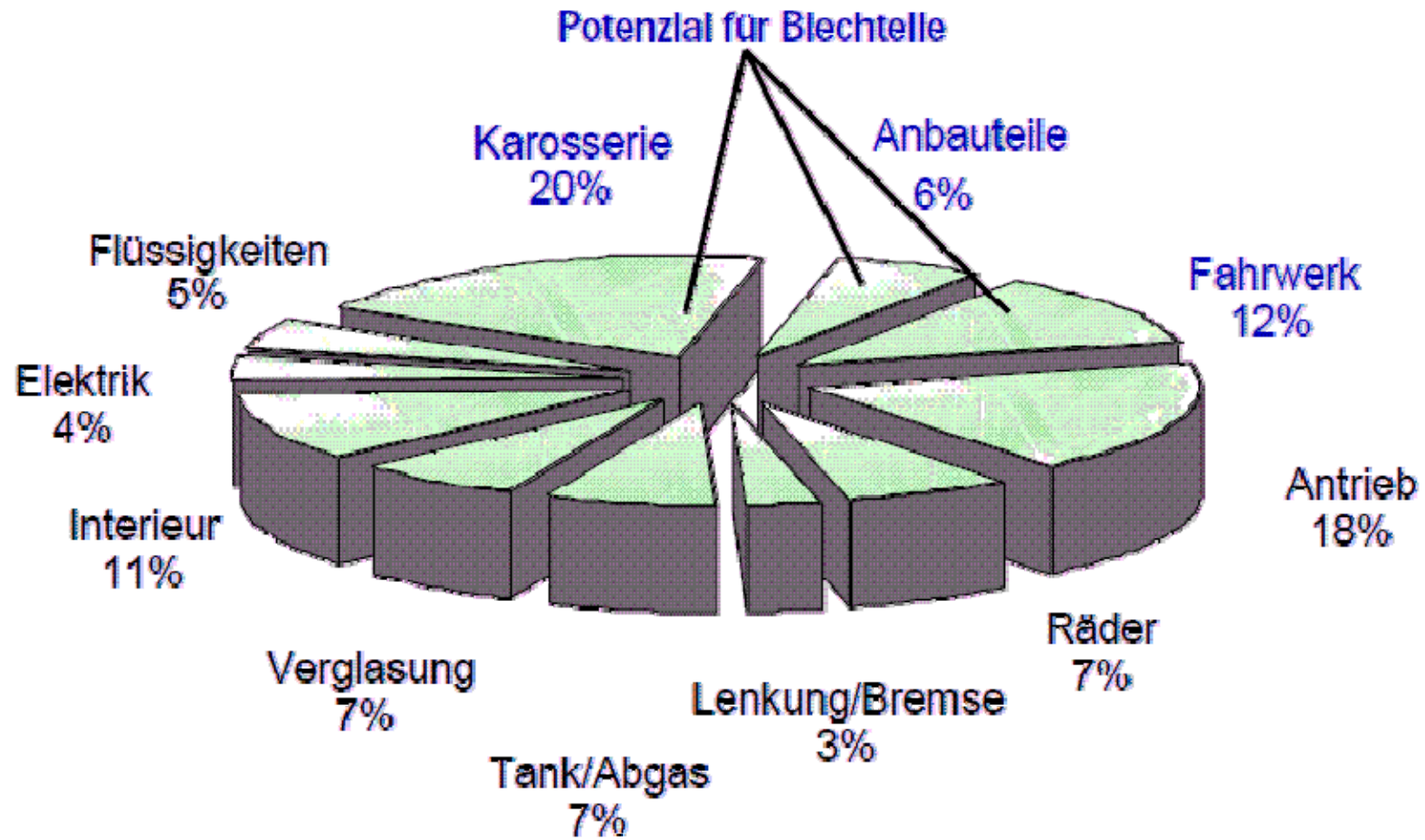
- 1 Introduction**
- 2 Strategies for lightweight construction**
- 3 Combination steel to magnesium / aluminium**
  - 3.1 Constructions
  - 3.2 Welding/brazing hybrid technologies
  - 3.3 Clinching
- 4 Combination metal to fiber-reinforced plastic**
  - 4.1 Fiber-reinforced plastic
  - 4.2 Joining technologies for fiber-reinforced plastic
  - 4.3 Self piercing
- 5 Problems**

... 100 Kilogramm weniger Gewicht

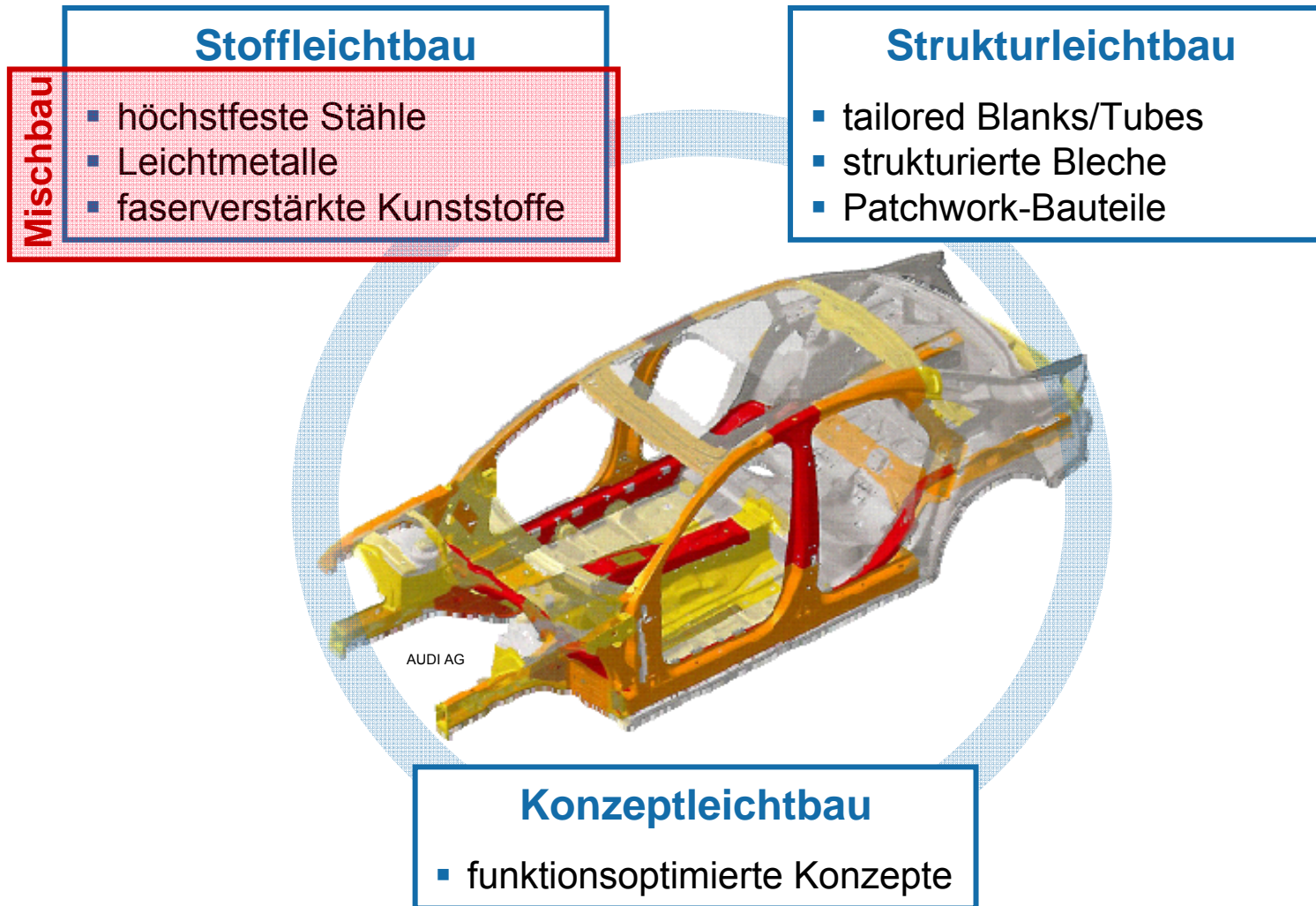
→ 0,3 bis 0,5 Liter weniger Verbrauch pro 100 Kilometer.

→ Reduzierung von 8 bis 11 Gramm CO<sub>2</sub>/km...

Quelle: Heinrich, T.: Leichtbau als Kernkompetenz. Audi AG



Quelle: ThyssenKrupp Umformtechnik



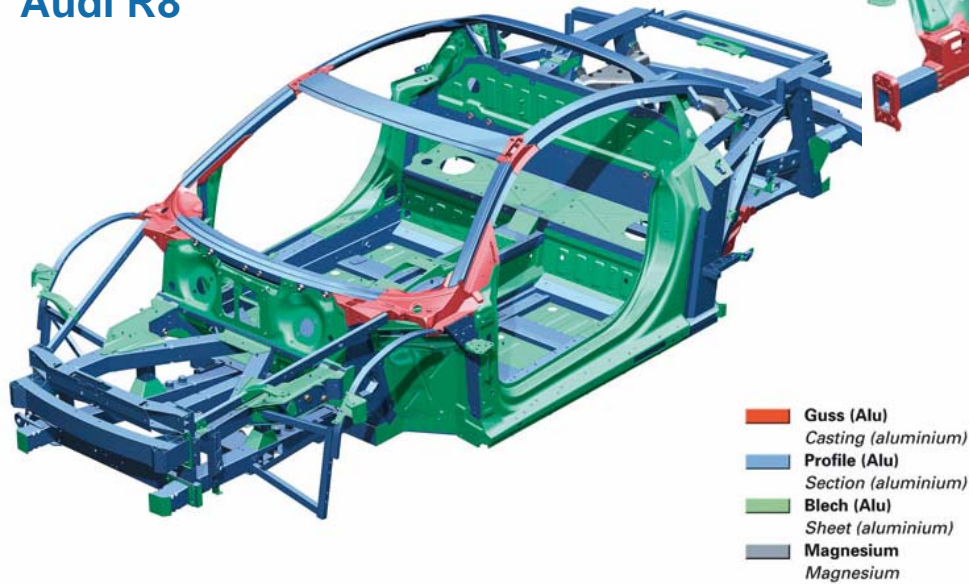
## Mischbauweise - Trend für zukünftige Leichtbaukonzepte



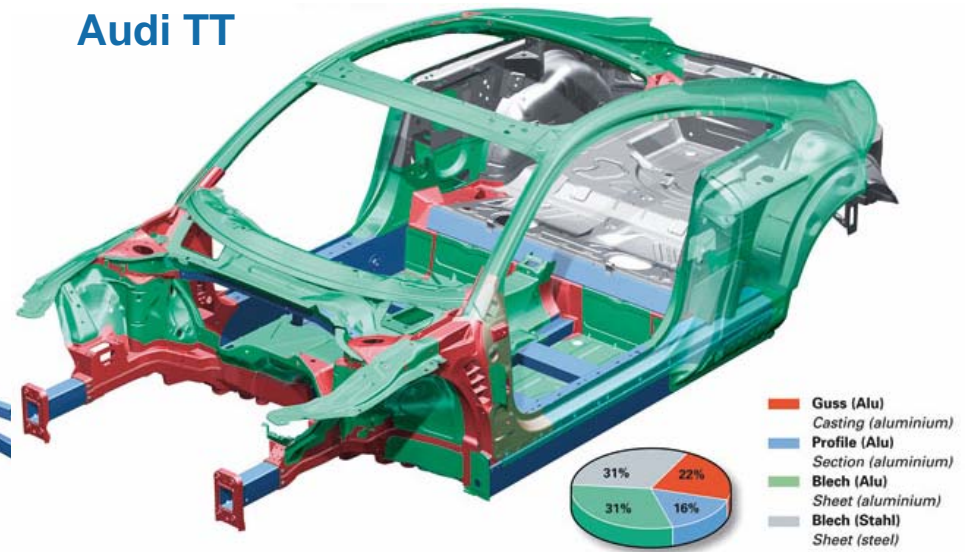
Quelle: Volkswagen AG



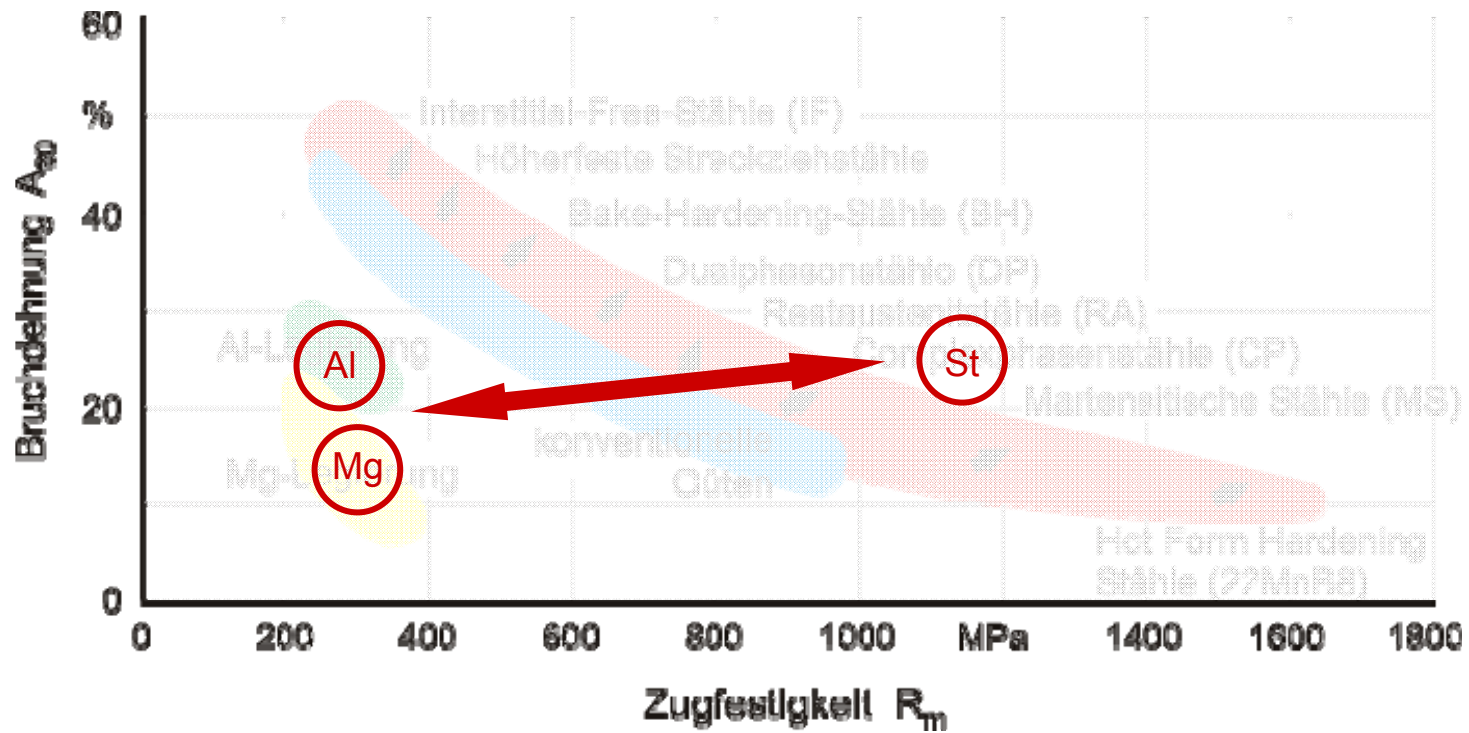
Audi R8



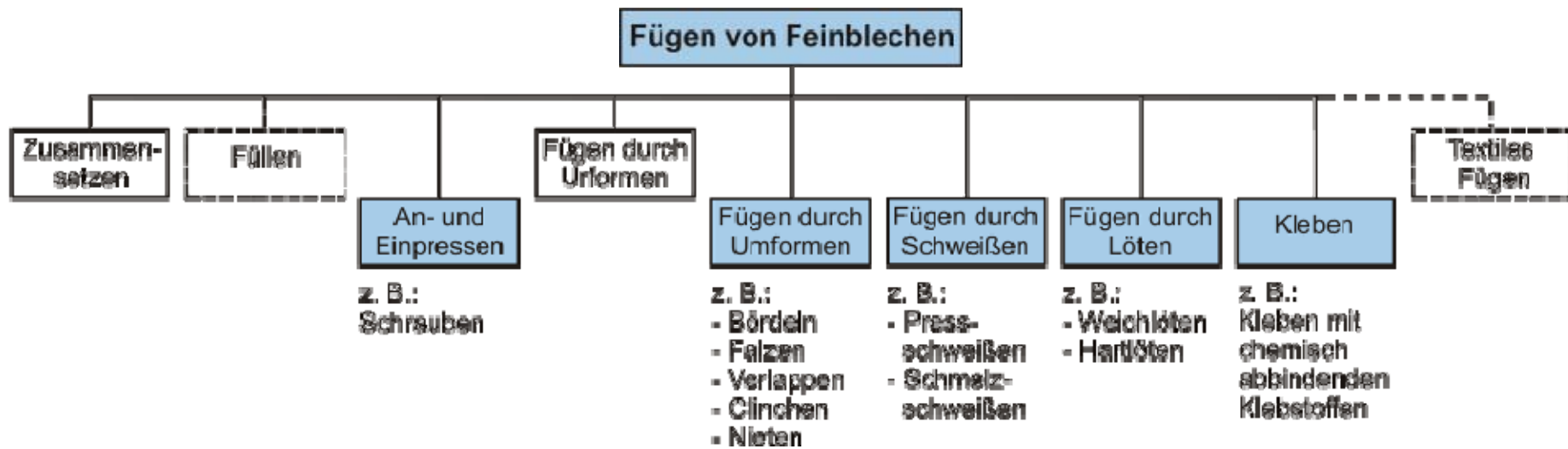
Audi TT



Quelle: Heinrich, T.: Leichtbau als Kernkompetenz. Audi AG







## Physical problems during the brazing of material combinations

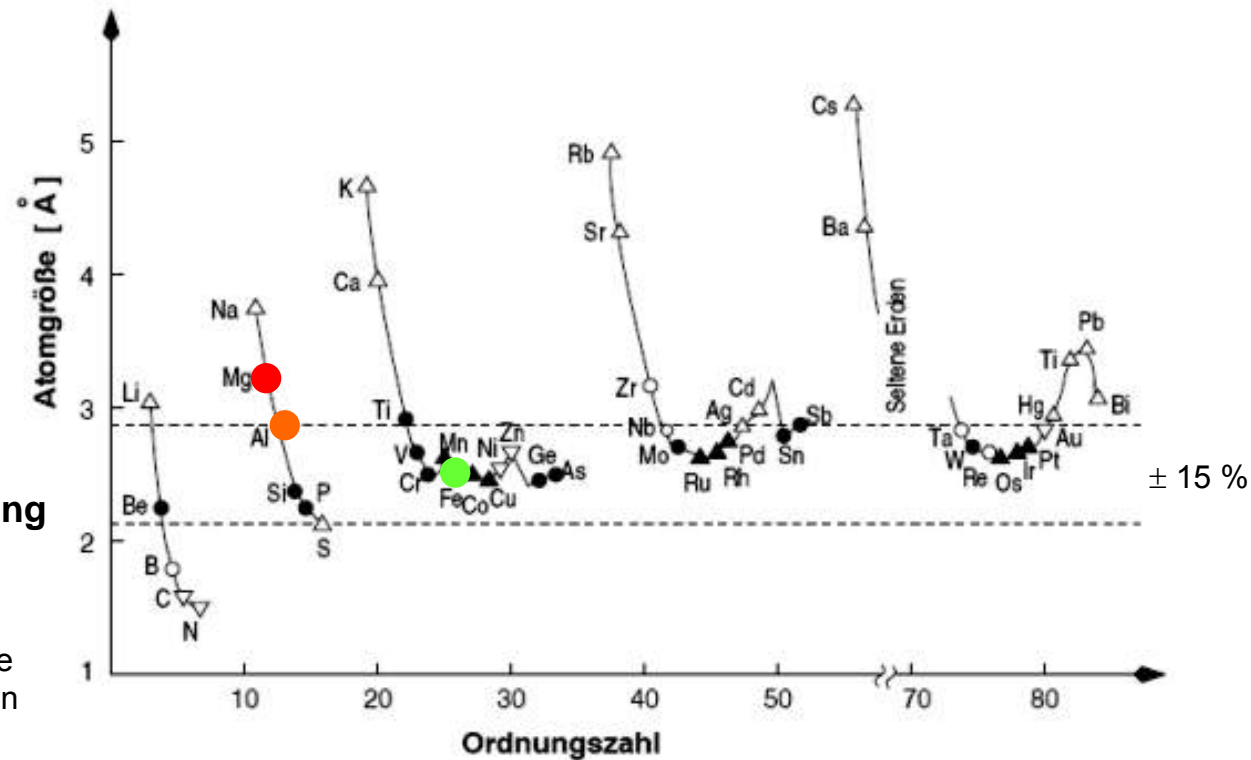
Aluminium, $T_s = 660^\circ\text{C}$	Steel
Magnesium, $T_s = 650^\circ\text{C}$	$T_s \leq 1538^\circ\text{C}$



- widely differing melting points, thermal expansions and thermal conductivities
- widely differing properties of oxide layers ( $T_{s, \text{Al}_2\text{O}_3} = 2050^\circ\text{C}$ !)
- formation of intermetallic compounds

## Metallurgical problems during the brazing of material combination

- Great differences between crystalline lattice und atomic radius → weldability↓
- Solid solution alloying of metals (substitution of atoms in cristalline lattice) only for atom radii with max. 10-15% difference
- Intermetallic phase layers decrease joint strength (1 μm no influence, 2 -3 μm small influence)



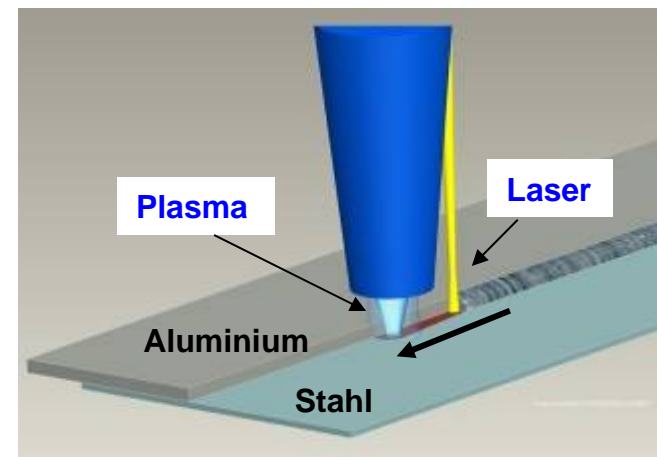
### Atom size of the alloying elements in iron and their solubility

Quelle: Script „Physikalische Eigenschaften“ IFW Dresden

Potential of hybrid processes

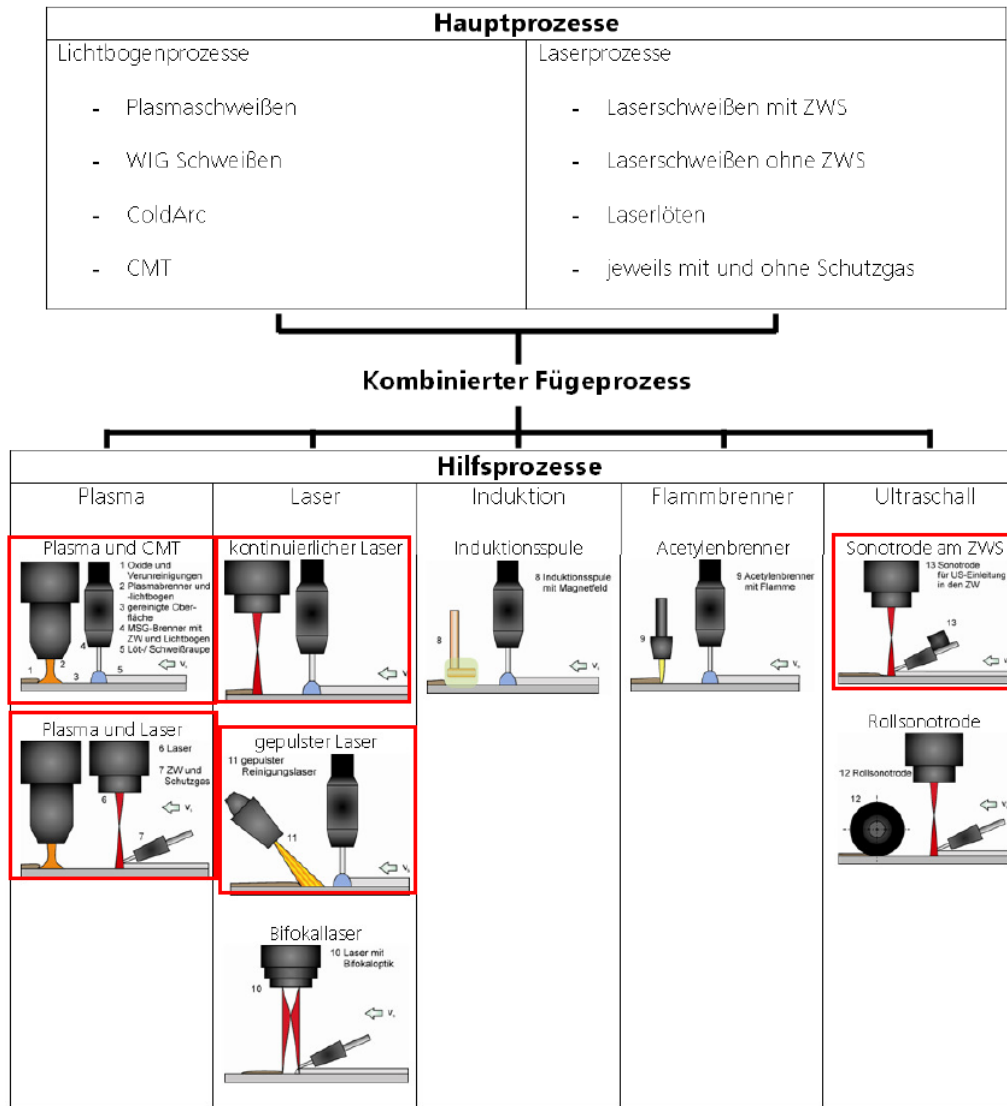
Hybrid joining process	
<p><b>Main processs</b></p> <ul style="list-style-type: none"> <li>Metallurgical joining process (alloying, wetting, diffusion)</li> </ul>	<p><b>Support process</b></p> <ul style="list-style-type: none"> <li>Pre-heat, -melt</li> <li>Surface activation, oxide removal</li> <li>Post-heat</li> <li>Influence on the melt pool</li> <li>Surface coating</li> </ul>

Example for a hybrid process

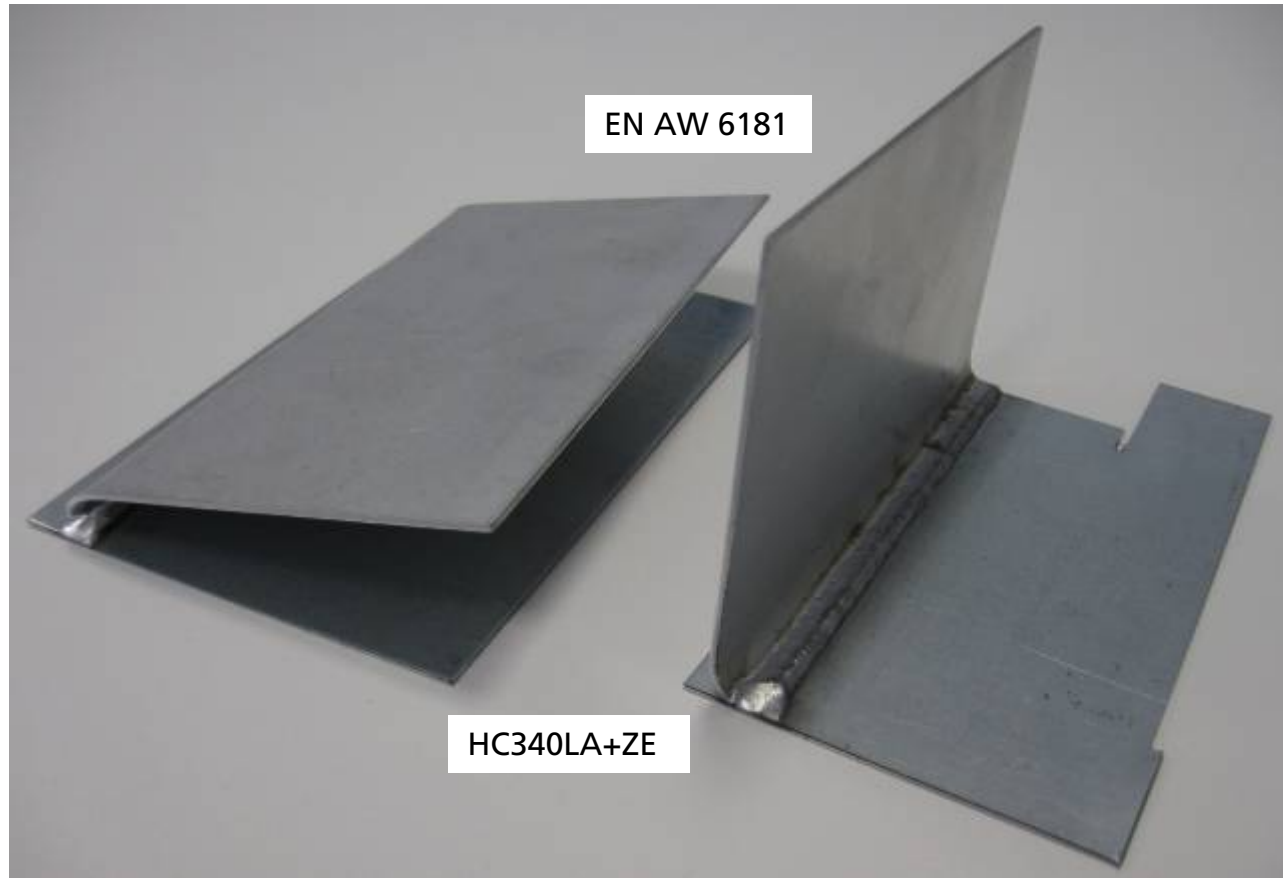


Main process: Laser, support process: plasma-arc for surface activation, pre-heating

## Hybrid processes, selection

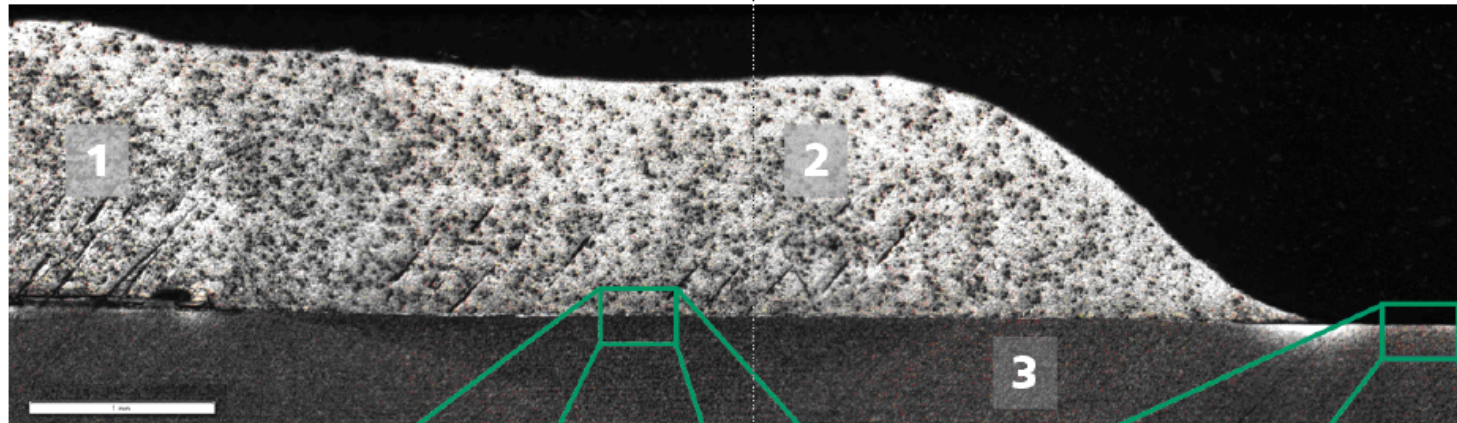


**Weld-braze-joint with high joint strength**

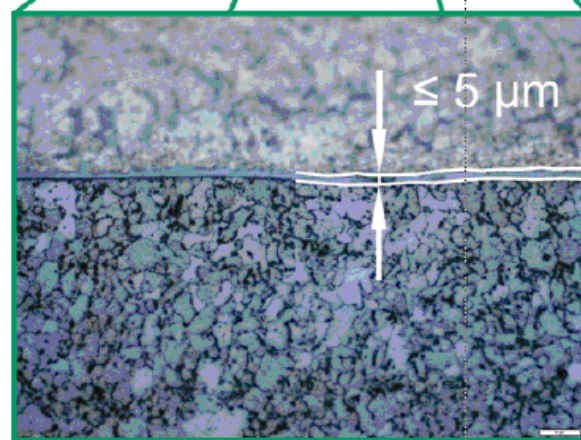




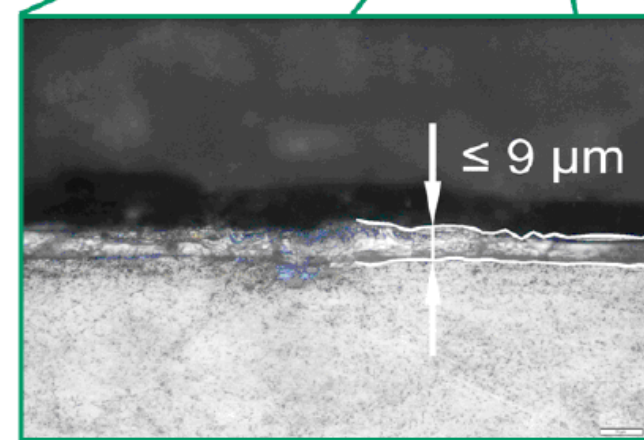
### Weld-braze-joint, metallurgical formation



Übersichtsbild



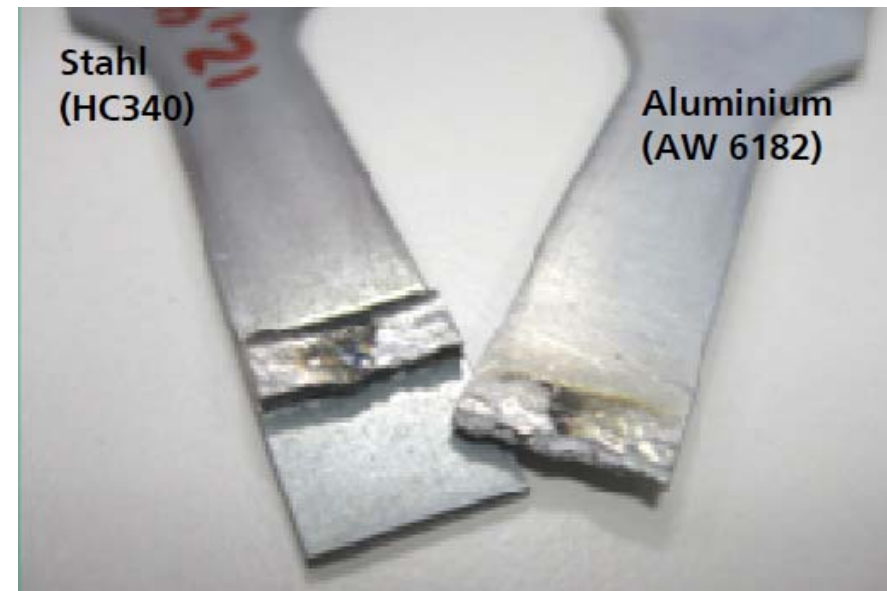
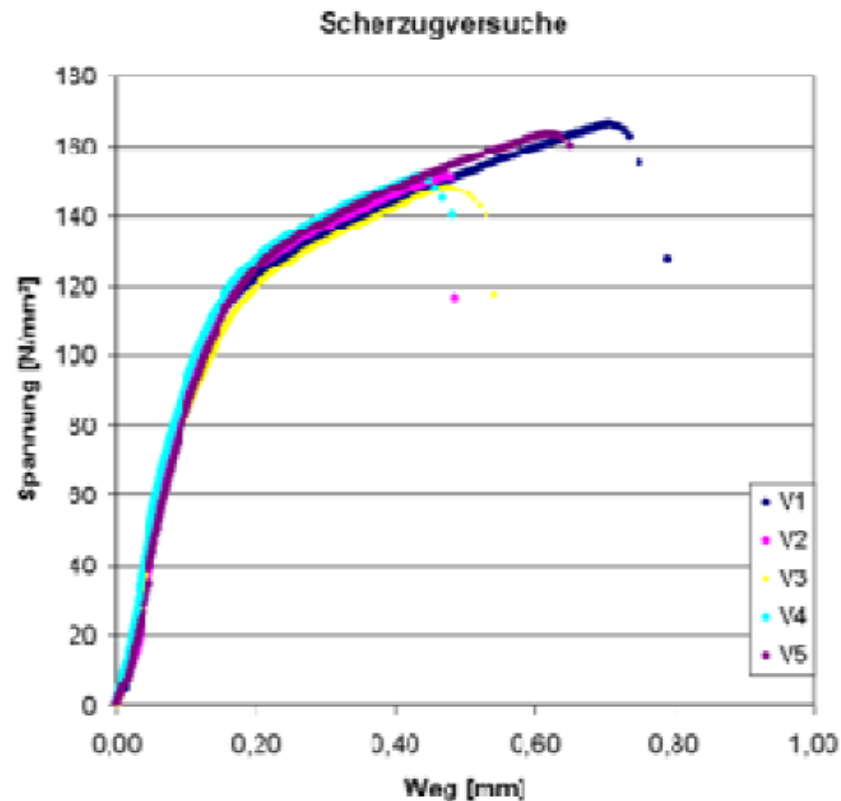
Phasensaum zwischen Al. und St.



Zinkschicht auf Stahl

- 1 EN AW 6181
- 2 AISI5
- 3 HC340LA+ZE

### Weld-braze-joint, mechanical properties



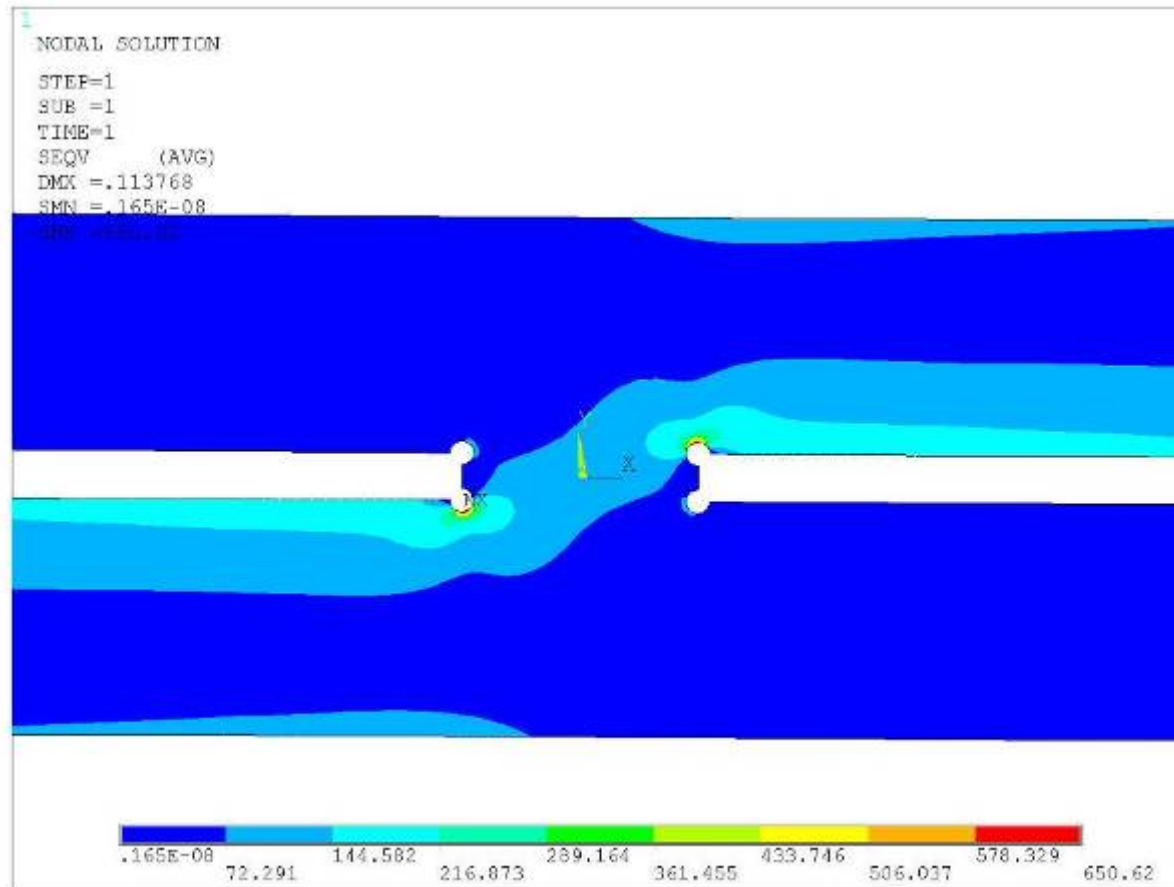
**parent und filler material:**

- Aluminium: EN AW 6181,  $t = 1,5 \text{ mm}$  ( $R_m = 235 \text{ N/mm}^2$ )
- Mild steel: HC340LA+ZE,  $t = 1,2 \text{ mm}$  ( $R_m = 410 \text{ N/mm}^2$ )
- Filler wire: AlSi5,  $d = 1,0 \text{ mm}$  ( $R_m = 165 \text{ N/mm}^2$ )

**Joint strength:**

- Mean:  $156,05 \text{ N/mm}^2$
- Standard deviation:  $7,97 \text{ N/mm}^2$

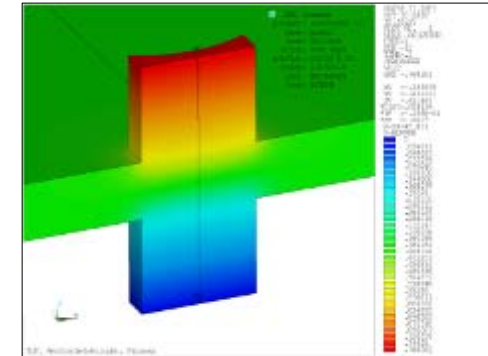
Stress distribution (FEM simulation) in the joining region



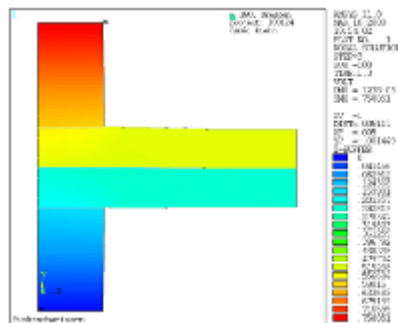
Kerbspannungsmodell

### FE-process-simulation resistance spot welding

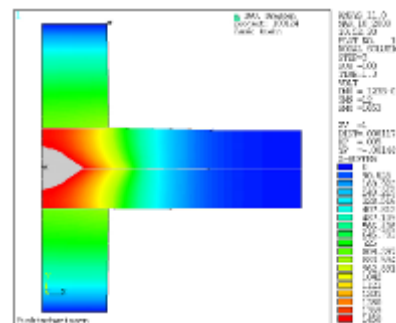
- Simulation of the weld process via coupled calculation mechanical/thermal/elektrical
- Development of a parametric simulation model
- 2<sub>1/2</sub>D- and 3D-calculations possible
- Simulation and measurement results correspond approximaty



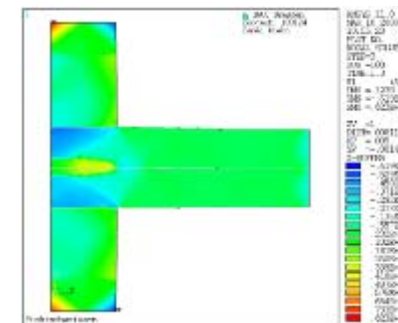
3D calculation



elektric potential



temperature distribution



equivalent tensile stress





fender

2 spots



tail cover

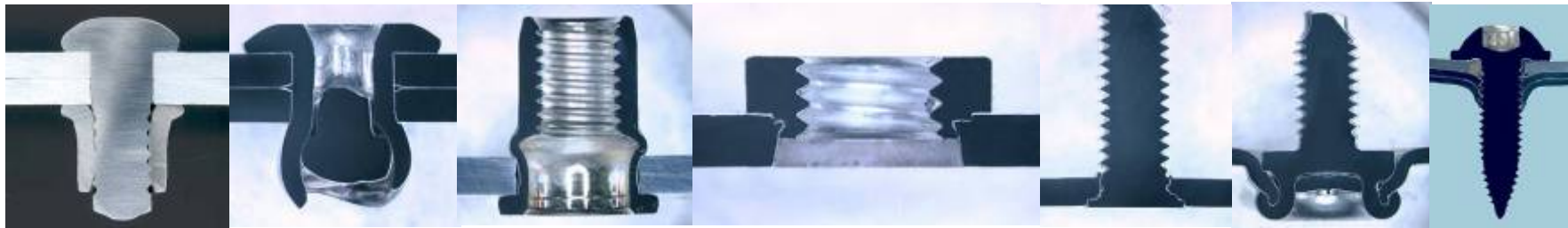
2 spots



bonnet

52 spots





Lockbolt fastener

Blind-riveting

Blindrivet-nut

Rivetnut

Rivet-stud

Pierce-stud

FDS



Dieless Clinching

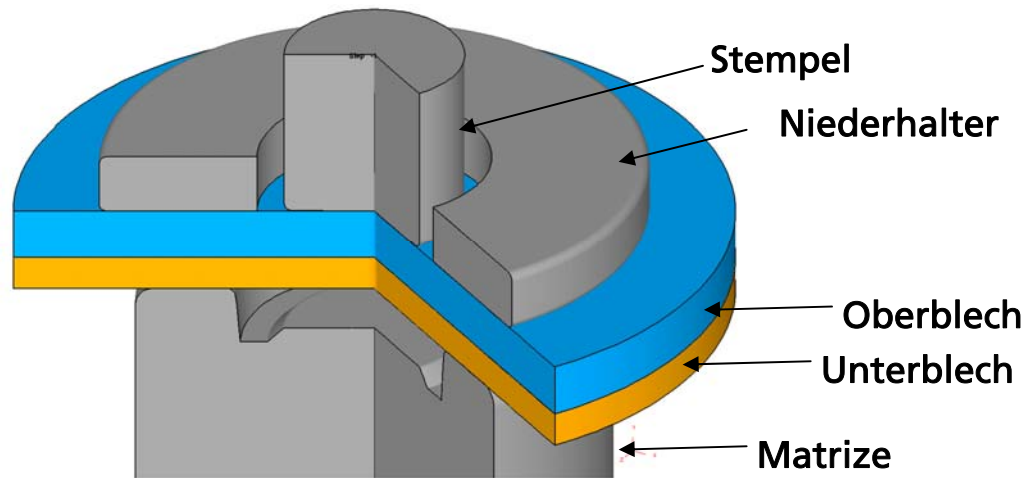
Clinching

Rivetclinching

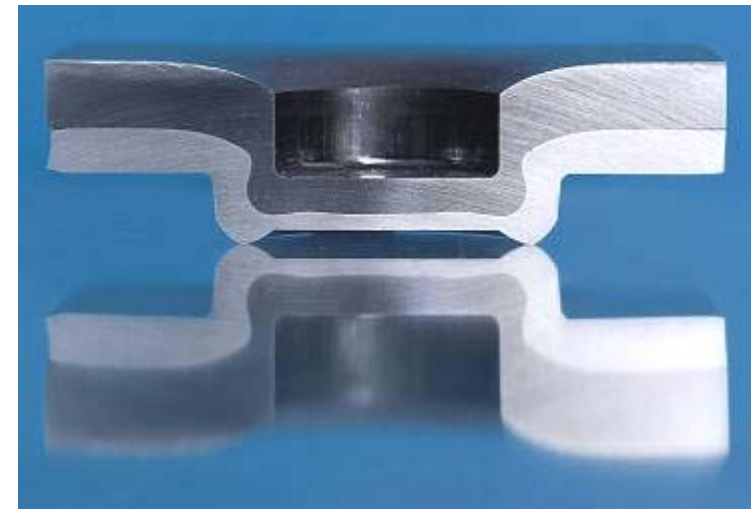
SPR

Solid riveting



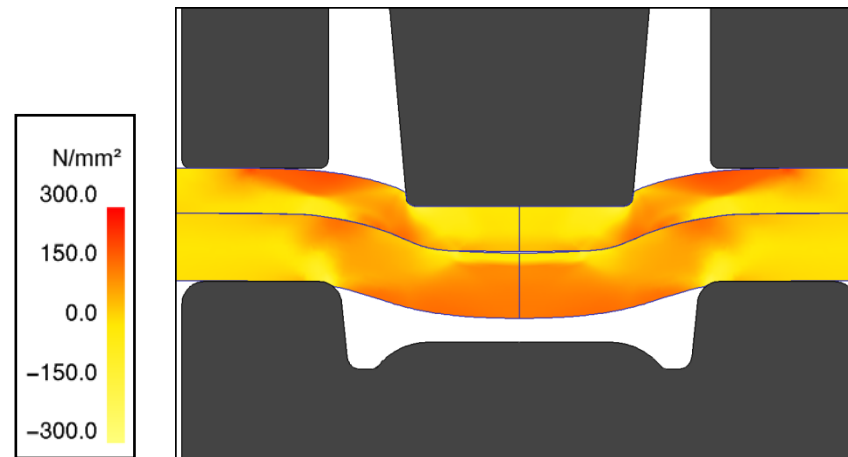


**Setzprozess  
Clinchen**



**S380 (6 mm) in  
AlMg4.5Mn (4 mm)  
Matrizen-Ø30 mm  
Fügekraft ca. 600 kN  
Scherzugkraft ca. 53 kN**

- **Tensile stress** in the material at the contoured counter tool **induces cracking** in magnesium

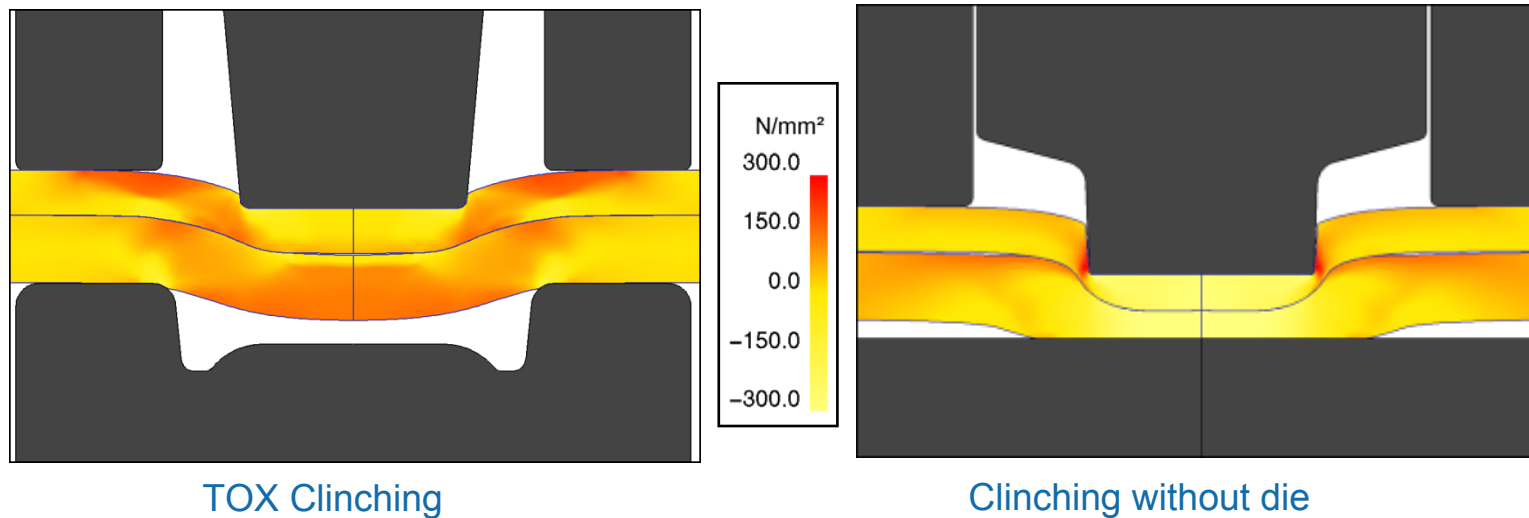


Maximum principal stress when standard Clinching is used

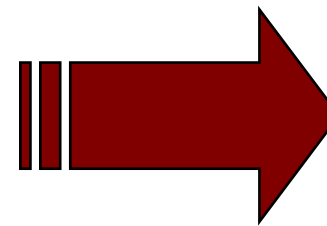
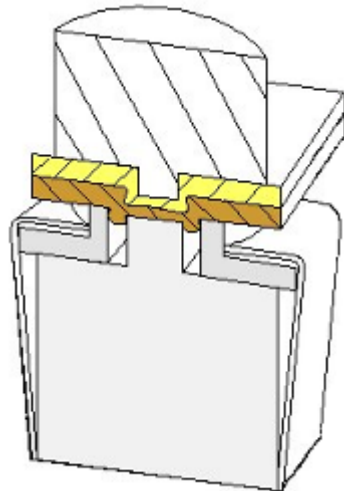
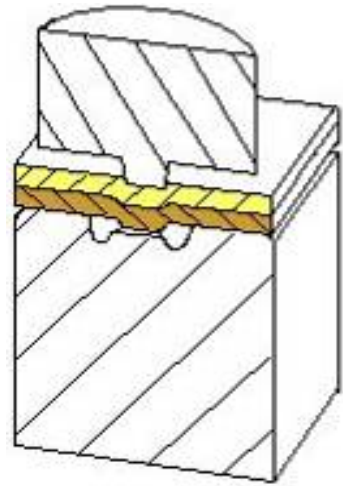
- **Formability** of magnesium is **low at room temperature**  
(Formability can be significantly improved at over 220 °C)

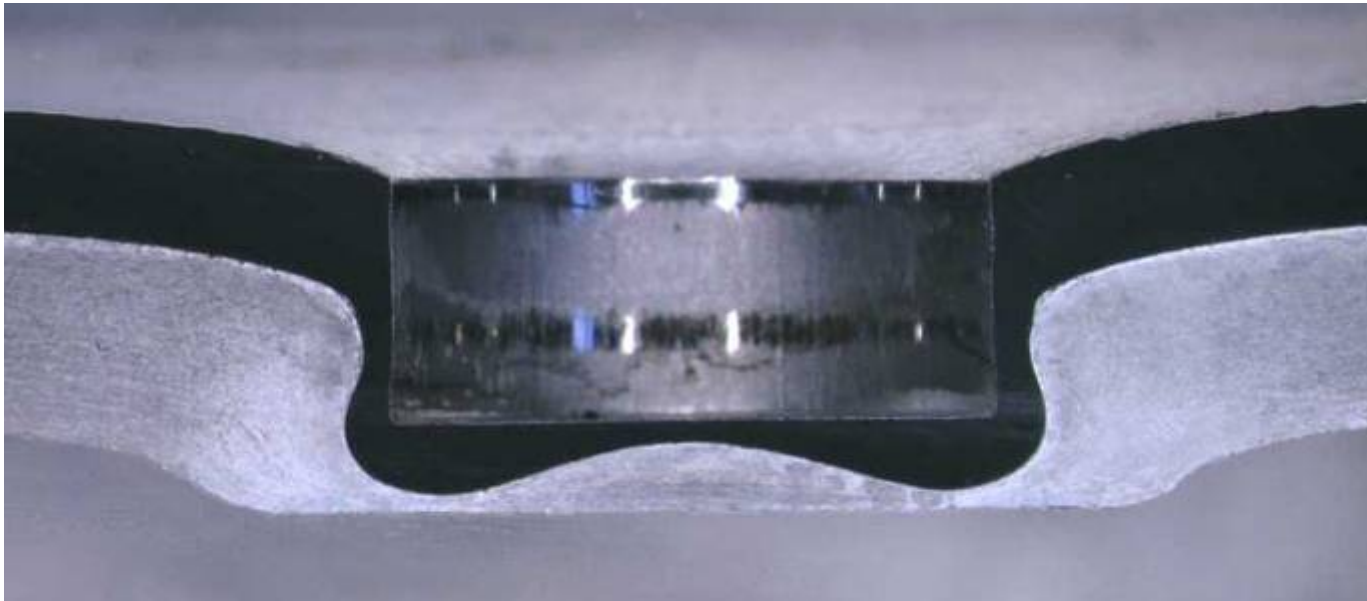
Stress distribution in the anvil side part is better...

→ ... because the fraction of compressive stress influence in the joining process



Stress distribution (FEM simulation) in the joining region





H340 sheet  
 $t = 1,2 \text{ mm}$

AZ91 die casting  
 $t = 1,9 \text{ mm}$

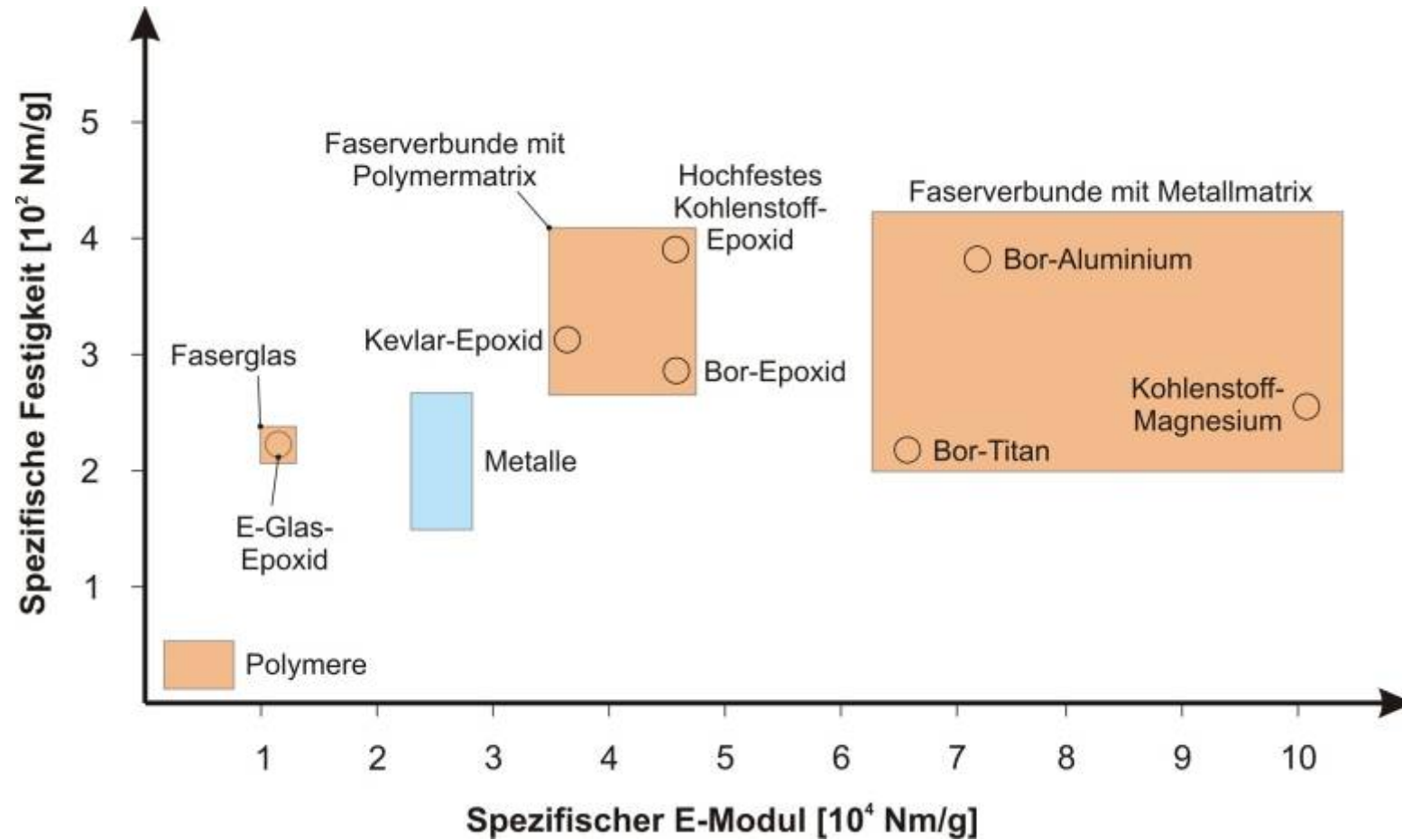
Clinch joint without die ( $d_s = 6 \text{ mm}$ )

→ Materials can be joined without dwell time to heat the parts

- 1 Introduction**
- 2 Strategies for lightweight construction**
- 3 Combination steel to magnesium / aluminium**
  - 3.1 Constructions
  - 3.2 Welding/brazing hybrid technologies
  - 3.3 Clinching
- 4 Combination metal to fiber-reinforced plastic**
  - 4.1 Fiber-reinforced plastic
  - 4.2 Joining technologies for fiber-reinforced plastic
  - 4.3 Self piercing
- 5 Problems**

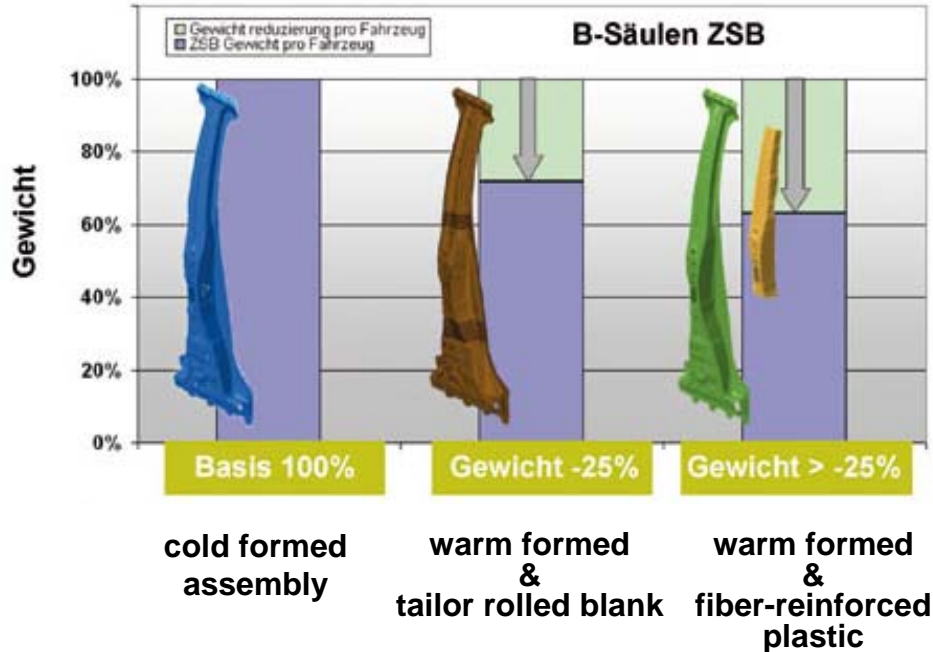


## 4.1 Fiber-reinforced plastic



Quelle: Askeland, D.: Materialwissenschaften.

Potential of light weight constructions



Examples of usage

Bauteile aus CFK am Beispiel Audi R8 GT:

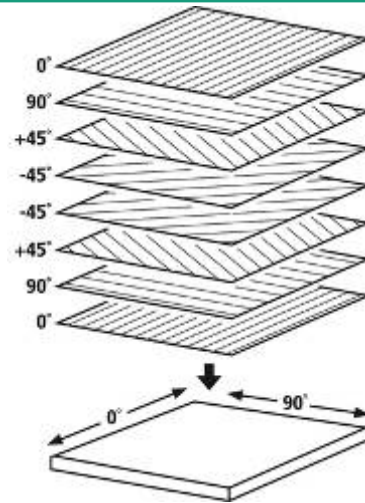
- Frontspoiler
- Winglets vorn
- Außenspiegel
- Sideblade
- Heckklappe
- Heckspoiler
- Heckabschlussteil
- Stoßfänger hinten
- Diffusor
- Motorraum
- Sitze
- Mittelkonsole
- Einstiegsleisten
- Schalthebel
- Monoposto
- Instrumentenhatz
- Einsatzteil Schalttafel



Quelle: Heinrich, T.: Wo liegt der Bedarf für CfK im Automobilbau? Audi AG

## 4.1 Fiber-reinforced plastic

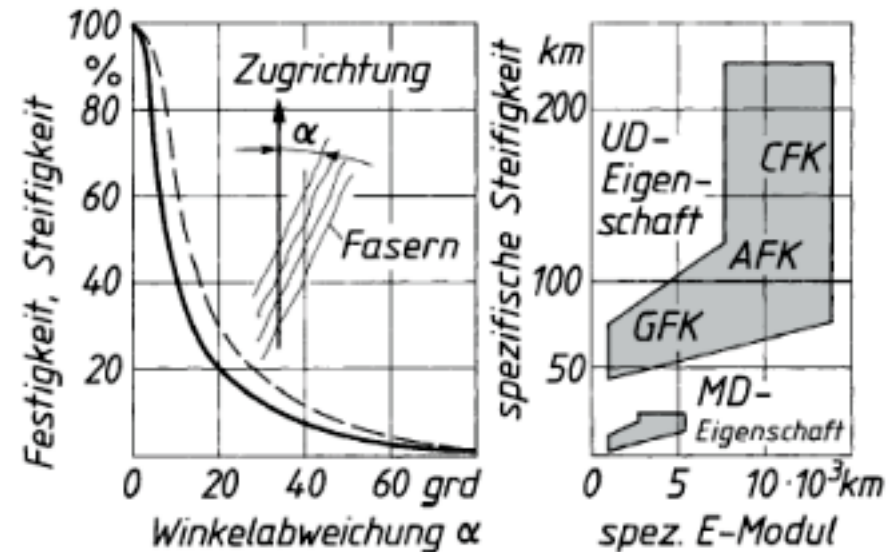
## Directional dependence of FRP properties



### Properties of CFRP-laminates

Eigenschaft	Einheit	Epoxidharz 913 C	HTS-Faser-Laminate			
			0°	90°	0/90°	+/- 45°
Faservolum.anteil	%	0	60	60	60	60
Dichte	kg/dm <sup>3</sup>	1,25	1,55	1,55	1,55	1,55
Zugfestigkeit	N/mm <sup>2</sup>	40-140	1950	75	850	200
E-Modul (Zug)	kN/mm <sup>2</sup>	3 – 4,5	130	9,1	70	23
Biegefestigkeit	N/mm <sup>2</sup>	60-160	2000	100	700	-
Druckfestigkeit	N/mm <sup>2</sup>	10-200	1300	260	700	190
E-Modul (Druck)	kN/mm <sup>2</sup>	3,5	130	9	70	23
Bruchdehnung	%	2-10	1,1	0,6	1,0	5 – 6
Wärmedehnung	10 <sup>-6</sup> /K	60	-0,5	40	1 – 2	3 – 5

Quelle: Ahlborn, H.: Herstellung, Eigenschaften und Varianten kohlestofffaserverstärkter Kunststoffe. konstruktionspraxis.de

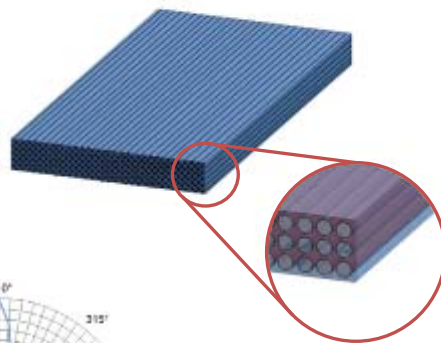


UD...unidirectional fiber alignment (one direction)

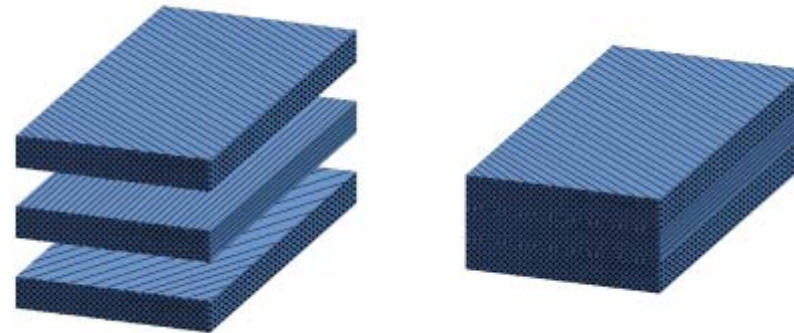
MD...multidirectional fiber alignment (at least 3; 0° / 90° und +/- 45°)

Quelle: Weißbach, W.: Werkstoffkunde. Vieweg Verlag

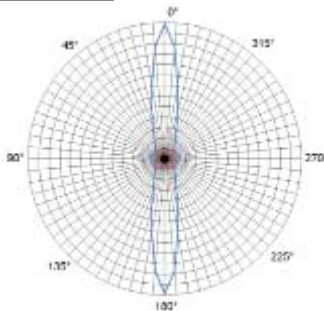
UD-Schicht



MSV mit unterschiedlich aufgebauten Einzelschichten



—○— E-Modul  
—△— G-Modul

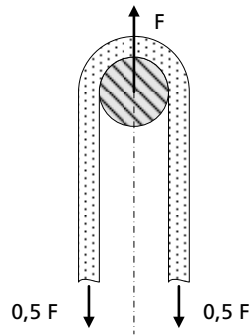


- max. E-Modul und Festigkeit in Faserrichtung
- Senkrecht zur Faserrichtung nur geringe Werte

➔ Anordnung der Fasern in Lastrichtung

Quelle: Schürmann, H.: Konstruieren mit Faser-Kunststoff-Verbunden

Schlaufenanschluss



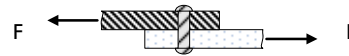
Vorteile:

- sehr fasergerechte Verbindung
- sehr hohe, punktförmige Lasten können eingeleitet werden

Nachteile:

- aufwendige Herstellung

Bolzen- / Nietverbindung



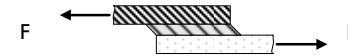
Vorteile:

- Fügen von ungleichen Materialien
- exakte Berechnung möglich
- preiswerte Verbindung

Nachteile:

- nicht fasergerecht (durchtrennen der tragenden Fasern)
- Korrosionsprobleme an der Bohrstelle
- nur geringe Lochleibungsspannung zulässig
- erhöhtes Gewicht

Klebverbindung



Vorteile:

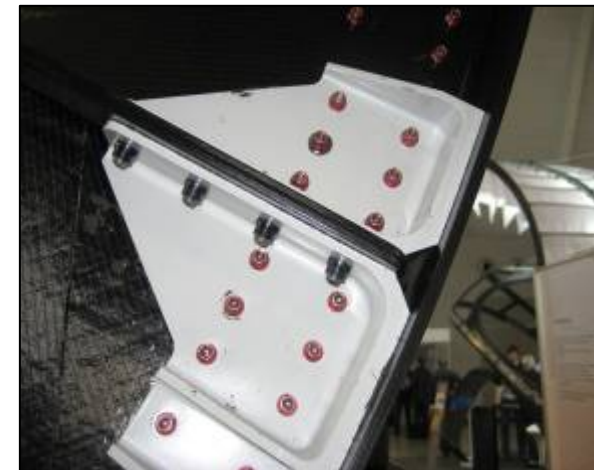
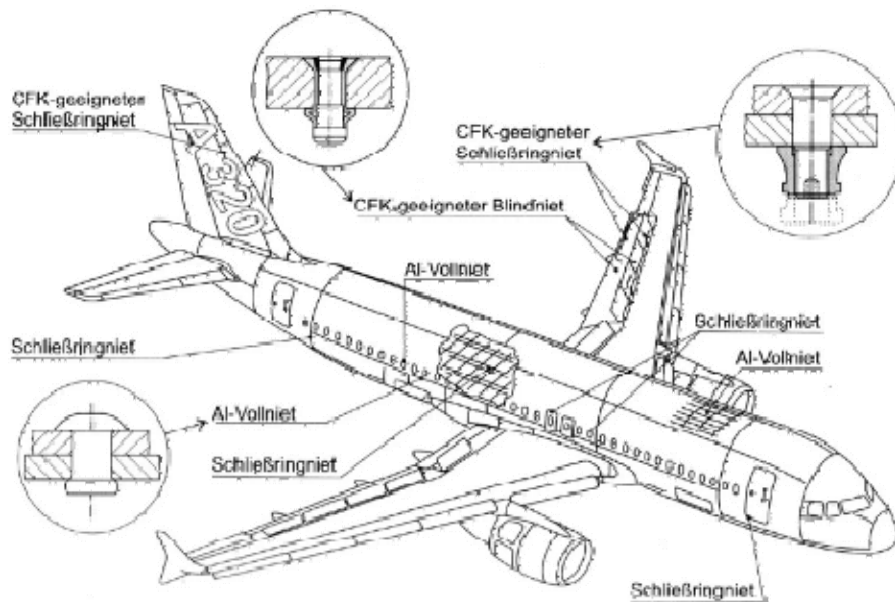
- ganzflächige Verbindung
- gleichmäßige Spannungsverteilung
- hohe stat. und dyn. Festigkeiten
- ...

Nachteile:

- keine exakte Festigkeitsberechnung möglich
- komplizierter Produktionsablauf
- aufwendige Halbzeugvorbereitung
- ...

Quelle: Schürmann, H.: Konstruieren mit Faser-Kunststoff-Verbunden  
 Michaeli, W.; Huybrechts, D.; Wegener, M.: Dimensionieren mit Faserverbundkunststoffen  
 Michaeli, W.; Wegener, M.: Einführung in die Technologie der Faserverbundwerkstoffe

## 4.2 Applications for fiber-reinforced plastic



**Mechanisch gefügte Stahl-CFK-Verbindung am Flugzeugbauteil**

Quelle: [1] K.-J. Matthes; F. Riedel: Fügetechnik: Überblick, Löten, Kleben, Fügen durch Umformen  
[2] Fraunhofer IPA

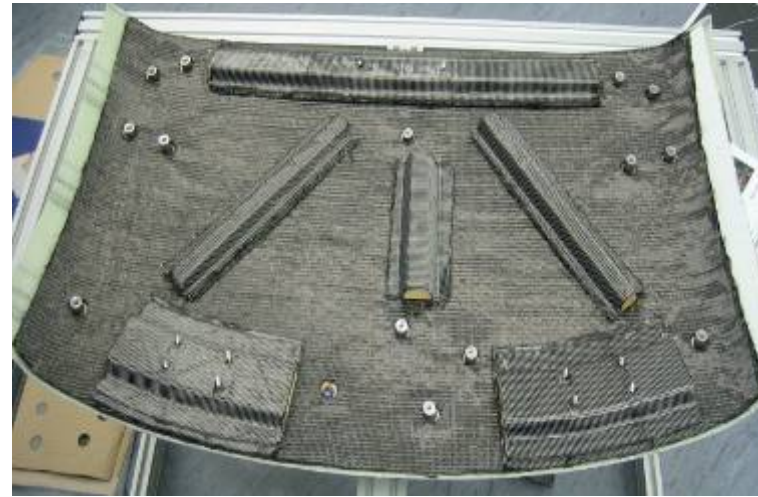


## 4.2 Applications for fiber-reinforced plastic

---



CFK Dachsegment BMW M6  
Geklebt [1]



Automobil Dachelement mit Metall-  
Inserts [2]

Quelle: [1] BMW  
[2] Fraunhofer IPA

### Vorbereitung der Metalloberfläche durch:

#### Mikrostrukturierung mit Hilfe der Heißprägung

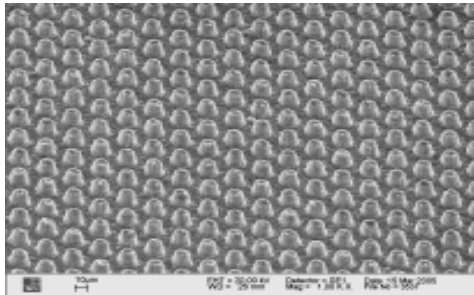


Bild: Schubert, A.: Workshop Fertigung von kleinen Präzisionsteilen für die Medizintechnik und Analytik

- definierte, gleichmäßige Oberfläche

#### Mikrostrukturierung durch Sandstrahlen bzw. Ätzen

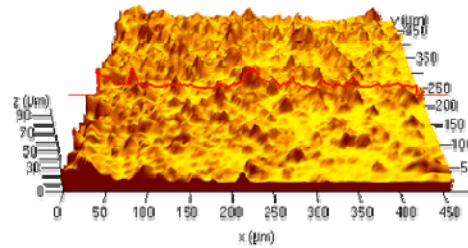


Bild: Fachhochschule Osnabrück

- undefinierte Oberfläche
- preisgünstige Herstellung

#### Aufbringung von CMT PINs



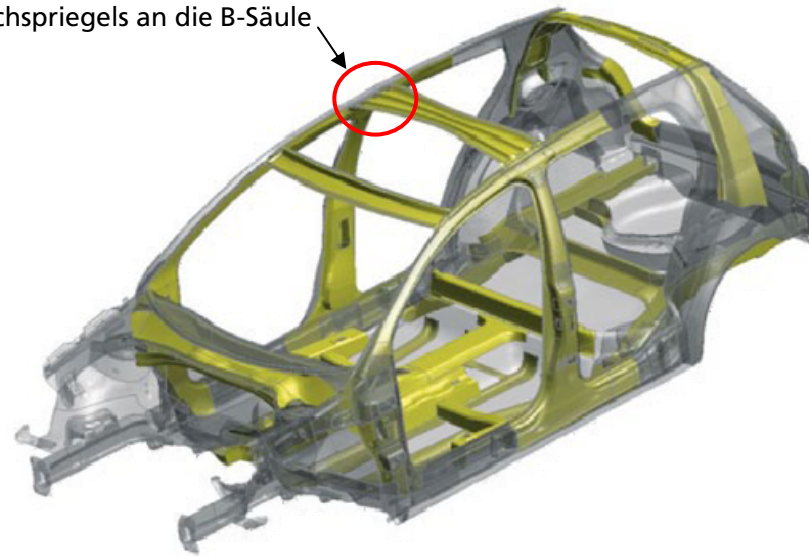
Bild: Fronius International GmbH

- definierte, gleichmäßige Oberfläche
- hohe übertragbare Kräfte

## 4.2 Applications for fiber-reinforced plastic

---

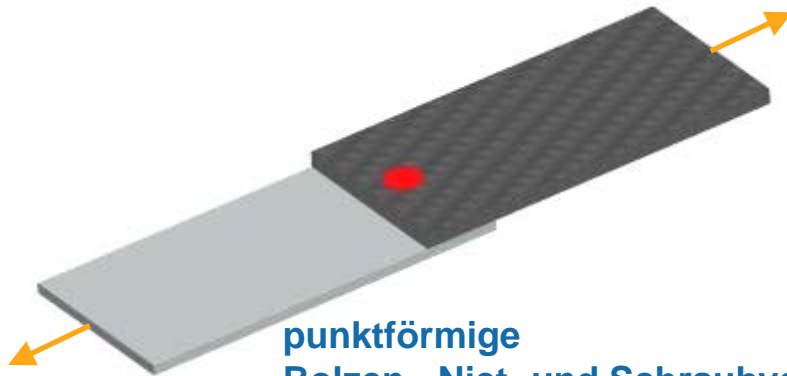
Anbindung des Dachspriegels an die B-Säule



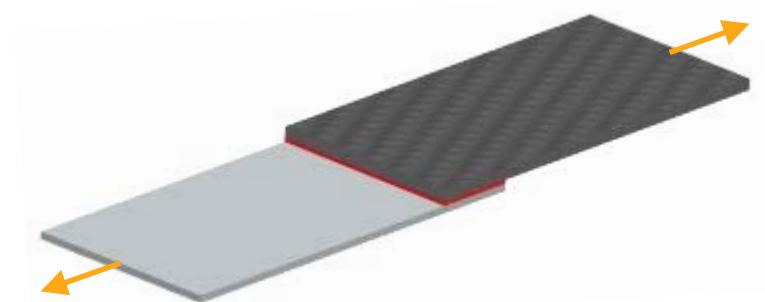
■ Bauteile mit Potenzial zur lokalen FVK-Verstärkung

■ Restliche Bauteile

Quelle: \* ATZ: Leichtbau-Bodengruppe mit Verstärkungen aus CFK und GFK

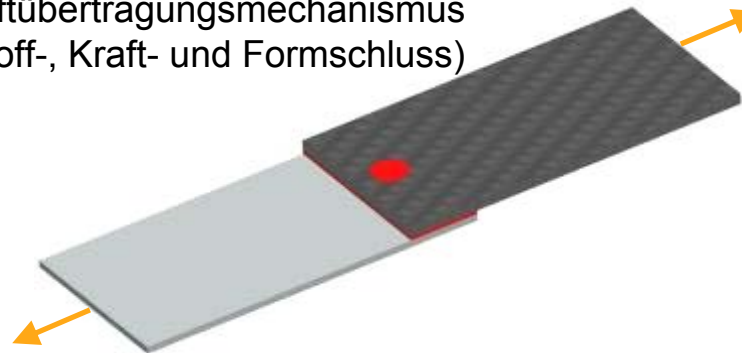


**punktförmige  
Bolzen-, Niet- und Schraubverbindungen**  
Kraftübertragung durch Kontakt-Druckspannungen  
(Kraft- und Formschluss)

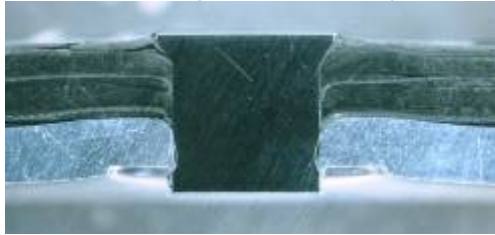


**flächige  
Klebverbindungen**  
Kraftübertragung durch Adhäsion  
(Stoffschluss)

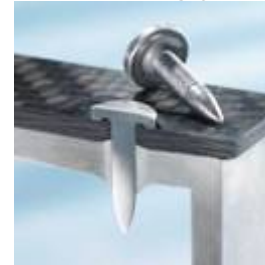
**Hybridverbindungen**  
komplexer Kraftübertragungsmechanismus  
(Stoff-, Kraft- und Formschluss)



Self piercing solid-rivet joint



Bolt setting joint



Quelle: Wilhelm Böllhoff GmbH & Co. KG

Semi-tubular self piercing rivet joint

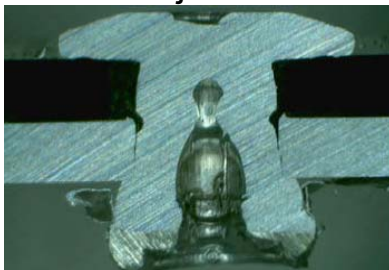


Screw joints



Quelle: DLR

Blind rivet joint



Quelle: DLR



Quelle: Fronius CMT-Technik

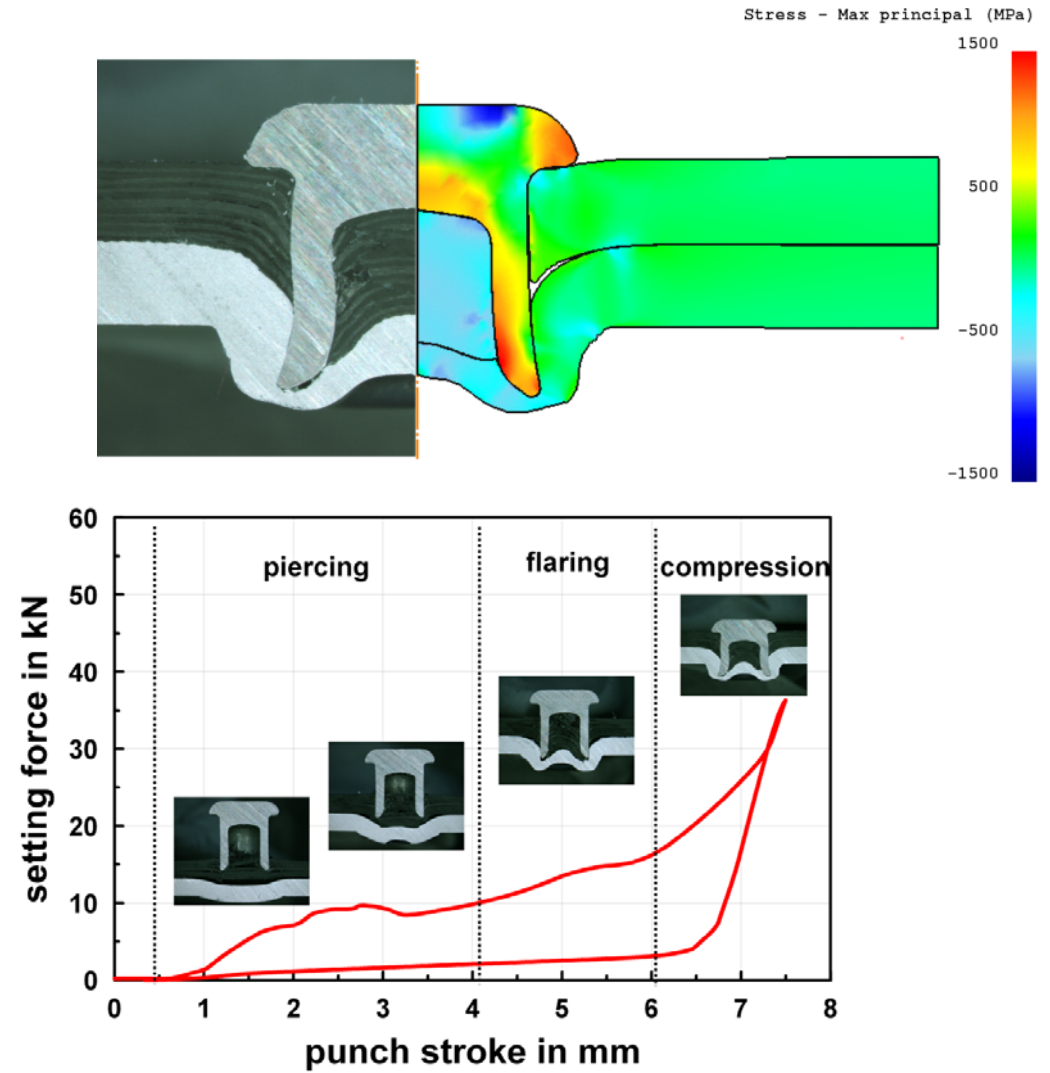


### 4.3 Self-piercing half-tube-rivet

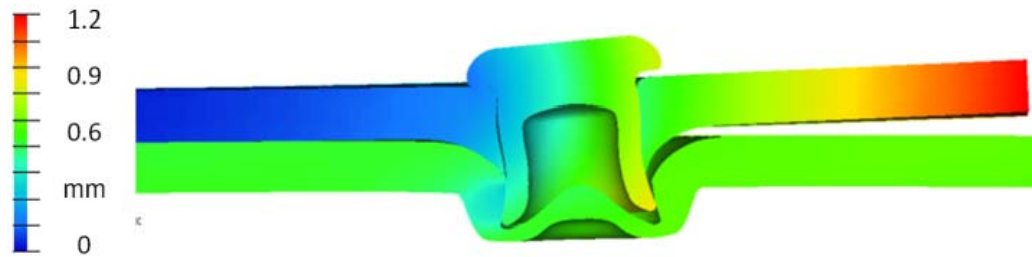
half-tube-rivet  $\text{\O}5,3 \times 5,6 \text{ H4}$



CFK T700SC/RIM935-[0/90]4S (2,1mm)  
in AlMgSi0,5 T6 (2,0mm)

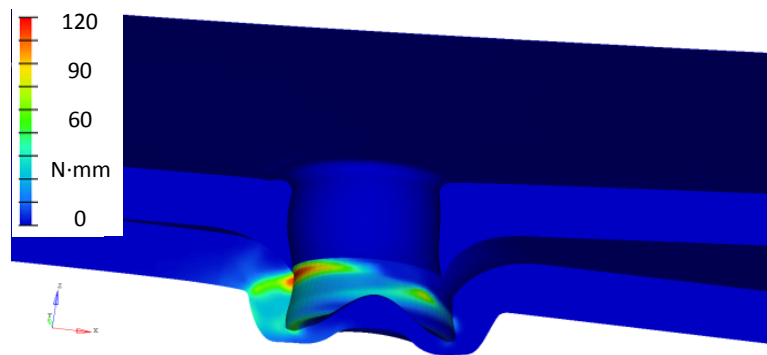


### 4.3 Self-piercing half-tube-rivet

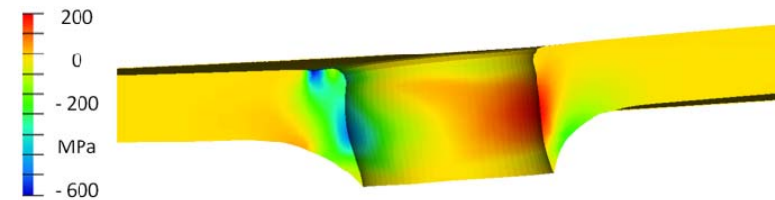


Friction coefficient are very sensitive

Total deformation



Plastic work  
-> the closure opens and allows the tilting of the rivet

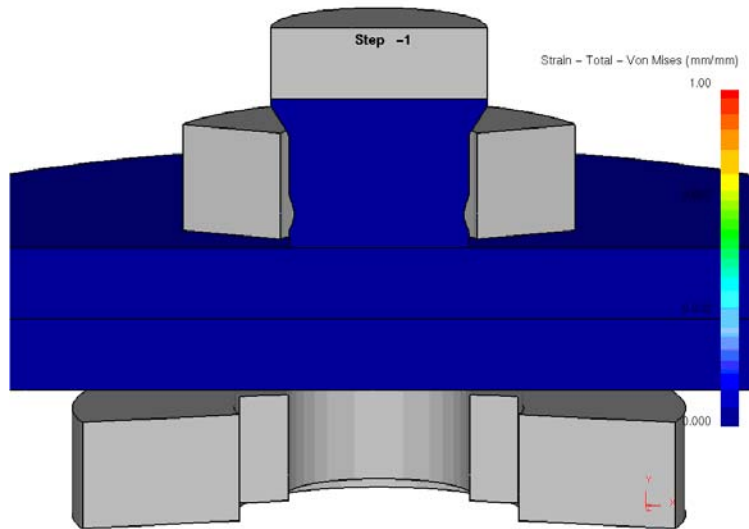


Stress in z-direction  
-> rivet head tilts and cuts into the top CFRP laminate

Quelle: L. Kroll, S. Mueller, R. Mauermann, R. Gruetzner

18th International Conference on Composite Materials; Jeju Island, Korea; August 22, 2011

## 4.3 Self-piercing solid-rivet



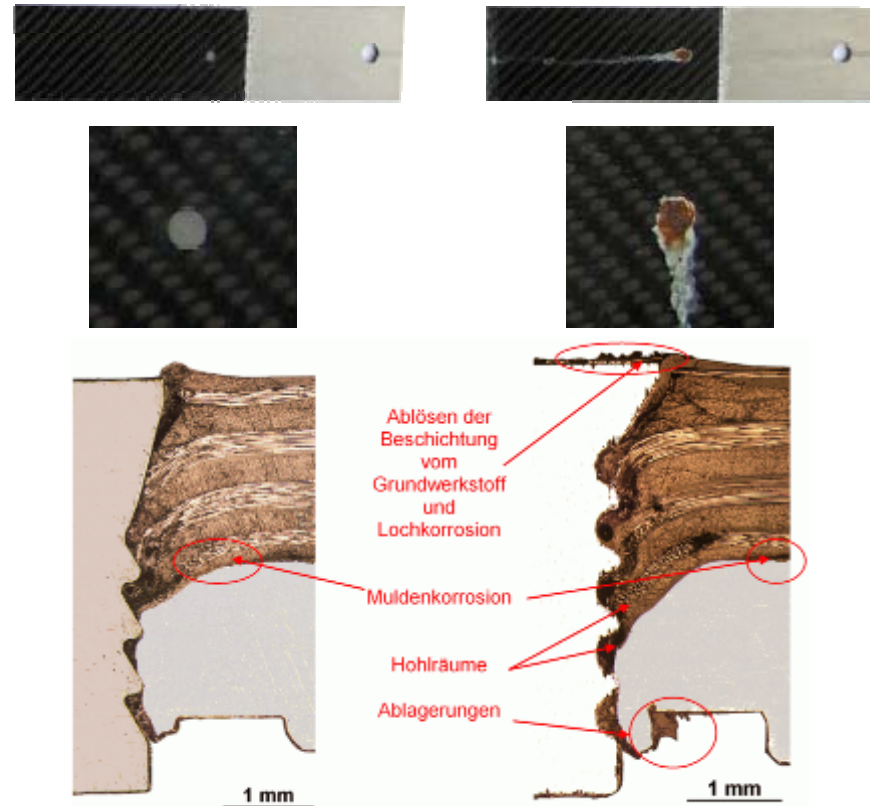




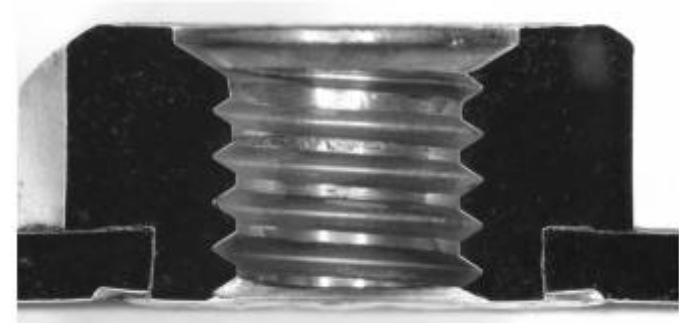
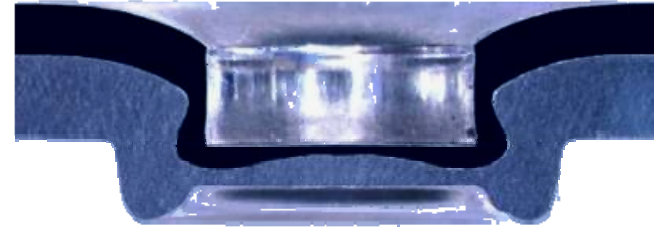
Quelle: KOMMA cluster-DFG-AIF-project

**Ceramic-rivet**

**Steel-rivet**



Corrosion after 6 Cycles „VDA-Wechselstest“



Joining hybrid constructions